

Cryptanalyse de crypto-système par réduction de réseaux

Aloïs Colléaux-Le Chêne

24/04/2023

LRE - EPITA

1. Travaux précédent
2. Définitions des termes
3. Attaque existante sur ECDH
4. Améliorations
5. Conclusion
6. Questions ouvertes

Travaux précédents sur ECDSA[1]

Algorithm 1 Message signature in ECDSA

Input: (E, G, n) , a point G of order n on the elliptic curve E

Input: $(d_A, Q_A = [d_A]G)$, the private-public keypair

Input: m , the message to sign

Output: (r, s) , the signature

1: $e \leftarrow \text{hash}(m)$ ▷ hash is a cryptographic hash function

2: **repeat**

3: $k \overset{\$}{\leftarrow} [1, n-1]$ ▷ k is also called the nonce

4: $(x_1, y_1) \leftarrow [k]G$

5: $r \leftarrow x_1 \bmod n$

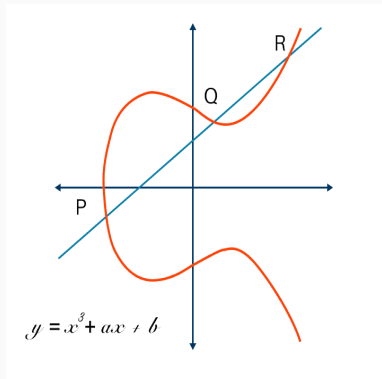
6: **until** $r \neq 0$

7: $s \leftarrow k^{-1}(e + rd_A) \bmod n$

Travaux précédents sur ECDSA[1]

- Le nonce doit rester secret
- Fuite du nonce = récupération de la clé
- Fuite partielle = récupération de la clé, après calculs
- Limite dure sur les algorithmes de SVP et CVP
- Le nonce se retrouve à partir du vecteur le plus court d'un réseau
- Introduction du problème $BDD_{\alpha, f(\cdot)}$

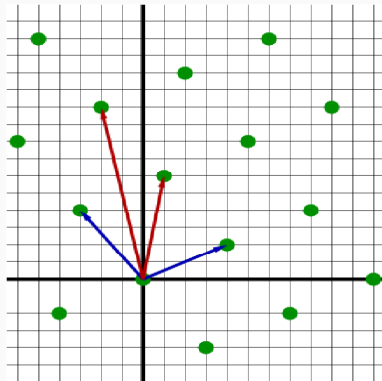
Courbe elliptiques



- Une courbe plane sur un corps fini
- Ensemble des points satisfaisant $y^2 = x^3 + ax + b$
- Différentes opérations sur des points

Réseaux euclidiens

- Ensemble des combinaisons linéaires de vecteurs d'une base dans \mathbb{Z}^n
- On note $\Lambda = \{ \sum_{i=1}^n a_i v_i \mid a_i \in \mathbb{Z} \}$, où $\{v_1, \dots, v_n\} \subset \mathbb{Z}^n$ est une base pour Λ , le réseau.



- On note \mathbf{B} la matrice carrée ayant pour lignes la base du réseau
- Inversement, on note $\Lambda(\mathbf{B})$ le réseau engendré par les lignes de \mathbf{B}
- $\lambda_n(\Lambda)$ correspond au rayon de la boule centrée à l'origine contenant n vecteurs non-colinéaires

- Estimation du nombre de points d'un réseau Λ dans $S \subset \mathbb{R}^n$
- $|S \cap \Lambda| \approx \text{vol}(S) / \det(\mathbf{B})$
- Peut être utilisé pour estimer la taille du vecteur le plus court
- $\lambda_1(\Lambda) \approx \text{GH}(\Lambda) = \frac{(\Gamma(n/2+1)(\det \Lambda))^{1/n}}{\sqrt{\pi}}$

- Problème du vecteur le plus court (SVP)
 - Soit Λ un réseau, trouver le vecteur le plus court de Λ
 - C'est-à-dire trouver un vecteur de norme $\lambda_1(\Lambda)$
 - LLL, BKZ, HKZ
- Problème du vecteur le plus proche (CVP)
 - Soit Λ un réseau, $\mathbf{x} \in \mathbb{R}^n$, trouver $\mathbf{y} \in \Lambda$ tel que $\mathbf{y} = \min_{\mathbf{v} \in \Lambda} \text{dist}(\mathbf{x}, \mathbf{v})$
 - Peut être plongé en instance SVP
 - Babai's rounding algorithm

- Déclinaison du CVP
- Avec une garantie: $\text{dist}(\mathbf{x}, \Lambda) < \alpha \cdot \lambda_1(\Lambda(B))$
- Garantie d'unicité si $\alpha < 1/2$
- Probabilité d'unicité élevée si $1/2 \leq \alpha < 1$

α -Bounded Distance Decoding with predicate ($\text{BDD}_{\alpha, f(\cdot)}$)

- À partir d'un vecteur $\mathbf{x} \in \mathbb{R}^n$ et d'un prédicat $f(\cdot)$, trouver le vecteur $\mathbf{y} \in \Lambda$ le plus proche, tel que $f(\mathbf{y} - \mathbf{x}) = \top$
- La garantie de distance à Λ reste la même
- Garantie d'unicité grâce au prédicat
- Ne donne plus forcément le vecteur le plus proche

unique Shortest Vector Problem with Predicate ($uSVP_{f(\cdot)}$)

- Déclinaison du SVP
- Soit un prédicat $f(\cdot)$, trouver le vecteur le plus court $\mathbf{x} \in \Delta$ tel que $f(\mathbf{x}) = \top$
- Garantie d'unicité grâce au prédicat
- Ne donne pas forcément le vecteur le plus court

Elliptic-Curve Diffie-Hellman (ECDH)

- Un protocole d'échange de clés, sur courbe elliptique
- Paramètres du domaine: (p, a, b, G, n)
 - Les opérations se passent sur E , la courbe $y^2 = x^3 + ax + b \pmod p$
 - G est générateur d'un sous-groupe de E , et son cardinal est n
- La clé privée est un entier aléatoire d et la clé publique $Q = [d]G$
- On note la paire de clés d'Alice (d_a, Q_a) et celle de Bob (d_b, Q_b)
- Analogue au Diffie-Hellman classique, le point secret partagé est $S = d_a \cdot Q_b = d_b \cdot Q_a$.
- On utilise la composante x du secret.
 - La composante y ne donne qu'un seul bit d'information

Problème du nombre caché (HNP)

- Soit un entier secret α et un module publique n , des informations à propos de α sont révélées ainsi
 - Un oracle choisit un entier uniformément aléatoire, $0 < t_i < n$, calcule $s_i = t_i \cdot \alpha \pmod n$ et renvoie des bits de poids forts de s_i et t_i
 - On note $s_i = a_i + k_i$, où $k < 2^l$
 - l est un paramètre de difficulté du problème
- On cherche à trouver α
- Calculer les bits de poids forts de la clé est aussi difficile que de calculer la clé dans l'échange de clé Diffie-Hellman
- Solvable avec des algorithmes de SVP avec la technique du plongement de Kannan

Problème du nombre caché, sur courbe elliptique (EC-HNP_x)

Definition

EC-HNP_x[2] Soit un premier p , une courbe elliptique E sur F_p , un point $R \in E$ et un entier positif δ . On pose $P \in E$ un point secret. Soit $O_{P,R}$ un oracle, tel que à partir m renvoie les δ bits de poids fort de la composante x de $P + [m]R$. C'est-à-dire,
 $O_{P,R}(m) = \text{MSB}_\delta(x_{P+[m]R})$.

L'objectif est de retrouver le point secret P , grâce à un accès à l'oracle.

- **Récupérer un secret partagé**
- Fuite partielle lors des l'opération
- Clé de la forme $a + m$
- On observe plusieurs échanges de secret
- On récupère les bits de poids fort du secret partagé
 - $[(a + m)b]Q = [ab]Q + [m][b]Q = P + [m]R$

On récupère n échantillons

On pose $Q = [m]R$

$$h_0 = \text{MSB}_k(P_x) = P_x - e_0$$

$$h_i = \text{MSB}_k((P + Q)_x) = (P + Q)_x - e_i$$

$$h'_i = \text{MSB}_k((P - Q)_x) = (P - Q)_x - e'_i$$

$$\tilde{h}_i = h_i + h'_i$$

$$\tilde{e}_i = e_i + e'_i$$

$$F_i(X, Y) := X^2Y + A_iX^2 + A_{0,i}XY + B_iX + B_{0,i}Y + C_i$$

$$F_i(e_0, \tilde{e}_i) \equiv 0 \pmod{p}$$

$$A_i = (\tilde{h} - 2Q_x)$$

$$A_{0,i} = 2(h_0 - Q_x)$$

$$B_i = 2[\tilde{h}(h_0 - Q_x) - 2h_0Q_x - a - Q_x^2]$$

$$B_{0,i} = (h_0 - Q_x)^2$$

$$C_i = [\tilde{h}(h_0 - Q_x)^2 - 2h_0^2Q_x - 2(a + Q_x^2)h_0 - 2aQ_x - 4b]$$

$$\mathbf{M} = \begin{pmatrix} \Delta^2 & 0 & M_1 \\ 0 & \Delta & M_2 \\ 0 & 0 & P \end{pmatrix}$$

Plongement vers ${}_{\mathcal{U}}\text{SVP}_{f(\cdot)}$: les détails

$$M_1 = \begin{pmatrix} -C_1 & -C_2 & \dots & -C_n \\ -B_1 & -B_2 & & -B_n \\ -B_{0,1} & 0 & & 0 \\ 0 & -B_{0,2} & & \\ \vdots & 0 & \ddots & \\ & \vdots & & \\ 0 & 0 & & -B_{0,n} \end{pmatrix}, M_2 = \begin{pmatrix} -A_1 & -A_2 & & -A_n \\ -A_{0,1} & 0 & & 0 \\ 0 & -A_{0,2} & & \\ \vdots & 0 & \ddots & \\ & \vdots & & \\ 0 & 0 & & -A_{0,n} \end{pmatrix}$$

Plongement vers $uSVP_{f(\cdot)}$: un exemple

$$M = \begin{pmatrix} 1 & 0 & 0 & 0 & 0 & 0 & 0 & 0 & 0 & 0 & -C_1 & -C_2 \\ 0 & 2^{k-m} & 0 & 0 & 0 & 0 & 0 & 0 & 0 & 0 & -B_{0,1} & 0 \\ 0 & 0 & 2^{k-m} & 0 & 0 & 0 & 0 & 0 & 0 & 0 & 0 & -B_{0,2} \\ 0 & 0 & 0 & 2^{k-m} & 0 & 0 & 0 & 0 & 0 & 0 & -B_1 & -B_2 \\ 0 & 0 & 0 & 0 & 2^{2(k-m)} & 0 & 0 & 0 & 0 & 0 & -A_{0,1} & 0 \\ 0 & 0 & 0 & 0 & 0 & 2^{2(k-m)} & 0 & 0 & 0 & 0 & 0 & -A_{0,2} \\ 0 & 0 & 0 & 0 & 0 & 0 & 2^{2(k-m)} & 0 & 0 & 0 & -A_1 & -A_2 \\ 0 & 0 & 0 & 0 & 0 & 0 & 0 & 2^{3(k-m)} & 0 & 0 & 1 & 0 \\ 0 & 0 & 0 & 0 & 0 & 0 & 0 & 0 & 2^{3(k-m)} & 0 & 0 & 1 \\ 0 & 0 & 0 & 0 & 0 & 0 & 0 & 0 & 0 & 2^{3(k-m)} & p & 0 \\ 0 & 0 & 0 & 0 & 0 & 0 & 0 & 0 & 0 & 0 & 0 & p \end{pmatrix}$$

Plongement vers $uSVP_{f(\cdot)}$: un exemple

$$\mathbf{v} := \langle 1, \tilde{e}_1, \dots, \tilde{e}_n, e_0 \tilde{e}_1, \dots, e_0 \tilde{e}_n, e_0^2, e_0^2 \tilde{e}_1, \dots, e_0^2 \tilde{e}_n, k_1, \dots, k_n \rangle$$

- $\det(\mathbf{M}) = \frac{p^n}{2^{(m-k)(6n+3)}}$
- $|\mathbf{vM}| \leq \sqrt{3n+3} \ll \text{GH}(\Lambda(\mathbf{M}))$
- $\text{GH}(\Lambda(\mathbf{M})) = \sqrt{4n+3} (2^{(k-m)(6n+3)} p^n)^{\frac{1}{4n+3}}$

\mathbf{vM} est le vecteur le plus court $\iff 2^k \gg 2^{5/6m}$

Utilisation de $\text{uSVP}_{f(\cdot)}$ au lieu SVP

Prédicat: $f : (v_0, \dots, v_{2n+3}) \rightarrow v_0 \neq 0$

Algorithm 2 Find P_x

Input: $O_{P,R}$, the EC-HNP $_x$ oracle

Output: x_P

Construct the matrix \mathbf{M}

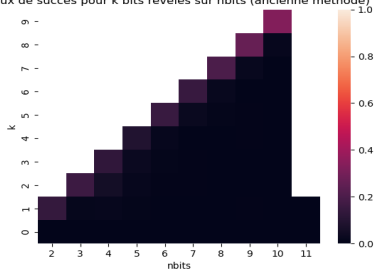
Let $f : (v_0, \dots, v_{2n+3}) \rightarrow v_0 \neq 0$, the predicate

Let $\mathbf{f} \leftarrow \text{uSVP}_{f(\cdot)}(\Lambda(\mathbf{M}))$

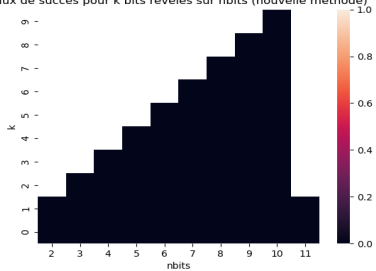
return $h_0 + \frac{f_0}{f'_0}$

Résultats

Taux de succès pour k bits révélés sur nbits (ancienne méthode)

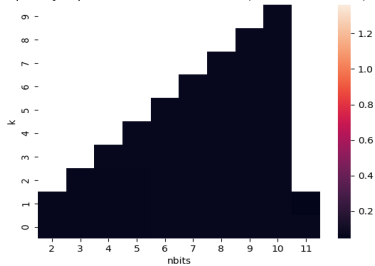


Taux de succès pour k bits révélés sur nbits (nouvelle méthode)

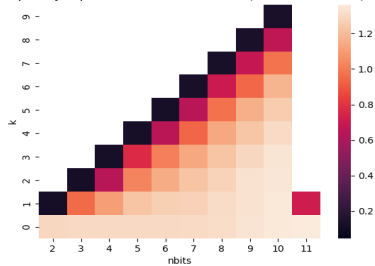


Performances

Temps moyen pour k bits révélés sur nbits (ancienne méthode)

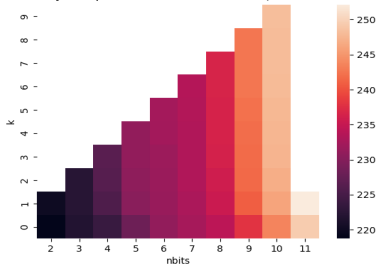


Temps moyen pour k bits révélés sur nbits (nouvelle méthode)

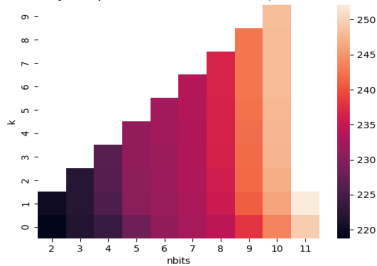


Consommation mémoire

mpreinte moyenne pour k bits révélés sur nbits (ancienne méthode)



mpreinte moyenne pour k bits révélés sur nbits (nouvelle méthode)



- Un meilleur taux de succès
- Un prix trop élevé pour être applicable
- De bons espoirs pour son amélioration

Questions ouvertes

1. Trouver la valeur optimale de n (i.e. la dimension du réseau)
2. Changer la structure de la base[3]
3. Changer le prédicat
4. Choisir les m des échantillons



Martin R. Albrecht and Nadia Heninger.

On bounded distance decoding with predicate: Breaking the "lattice barrier" for the hidden number problem.

Cryptology ePrint Archive, Paper 2020/1540, 2020.

<https://eprint.iacr.org/2020/1540>.



Barak Shani.

On the bit security of elliptic curve diffie–hellman.

Cryptology ePrint Archive, Paper 2016/1189, 2016.

<https://eprint.iacr.org/2016/1189>.



Jun Xu, Santanu Sarkar, Huaxiong Wang, and Lei Hu.

Improving bounds on elliptic curve hidden number problem for ecdh key exchange.

Cryptology ePrint Archive, Paper 2022/1239, 2022.

<https://eprint.iacr.org/2022/1239>.

Merci pour votre attention !